

ПОВЫШЕНИЕ ЖИВУЧЕСТИ ЧАСТОТНО-РЕГУЛИРУЕМОГО АСИНХРОННОГО ЭЛЕКТРОПРИВОДА

Г.И. Однокопылов, И.Г. Однокопылов

Томский политехнический университет
E-mail: odivan@yandex.ru

Рассмотрены принципы построения трехфазного частотно-регулируемого асинхронного двигателя, позволяющего при отказе одной из трех фаз обеспечить работу в двухфазном режиме с сохранением кругового вращающегося поля за счет активизации алгоритма восстановления в управляющем микроконтроллере. Приведены результаты моделирования для аварийной ситуации типа: «обрыв фазы». Проведен сравнительный анализ функционирования асинхронного двигателя в трех- и двухфазных режимах работы и определены ограничения по применению аварийного двухфазного режима работы с алгоритмом восстановления работоспособности.

Существуют области применения асинхронных частотно-регулируемых двигателей (АД), для которых прекращение функционирования может привести к нарушению безопасной эксплуатации оборудования с риском для персонала, большим экономическим потерям при авариях на необслуживаемых объектах эксплуатации с безостановочным циклом работы в течение продолжительного времени, браку продукции при продолжительном цикле обработки деталей. Для таких областей применения АД задача повышения живучести становится определяющей.

Известны системы электропривода на основе АД с алгоритмическим восстановлением работоспособности, которые применимы для 5- или 7-фазных АД [1]. При аварии типа «обрыв фазы» и соответствующем управлении обеспечивают восстановление кругового вращающегося поля. В трехфазном АД [2] при аварии типа «обрыв фазы» живучесть повышается за счет алгоритма введения гармоник напряжения для нейтрализации второй и высших гармоник пульсаций момента и сдвига частот в более высокий диапазон спектра, что позволяет компенсировать пульсации момента за счет момента инерции АД.

Предложен новый подход в повышении живучести за счет микроконтроллерного управления асинхронным электроприводом с реализацией алгоритма восстановления работоспособности в аварийной ситуации (в двухфазном режиме) [3]. Известны условия существования кругового вращающегося магнитного поля в двухфазном режиме трехфазной электрической машины с двумя произвольно сдвинутыми в пространстве обмотками: $\delta + \beta = \pi$; $F_{BM} = F_{CM}$, где F_{BM} , F_{CM} — амплитудные значения магнитодвижущих сил, отказ в фазе «А», δ — угол пространственного сдвига обмоток, $\delta = 2\pi/3$, β — угол временного сдвига токов обмоток, $\beta = \pi/3$. При наличии регуляторов тока в системе управления АД: $F_{BM} = F_{CM}$.

Из имеющихся технических предпосылок построения системы электропривода и применения методов мехатроники можно рассматривать возможность повышения живучести в случае аварийного отключения одной из фаз трехфазного АД с позиций повышения надежности системы с ненагруженным резервом [4]. Определяющим параметром применения нового подхода повышения жи-

вучести является время переключения структуры T_{Π} АД при возникновении аварийной ситуации, определяющее неуправляемую стадию процесса переключения структуры электропривода.

Для решения задачи повышения живучести функционирования АД при аварийной ситуации необходимо: реализовать силовой преобразователь (СП) по схеме с развязанными фазами, АД выполняется по принципу подчиненного регулирования (в минимальном составе это моментный двигатель с обратной связью по току). АД должен иметь в СП блок диагностики двигателя и преобразовательных ячеек. Опрос выявления отказов в функционировании производится с частотой широтно-импульсной модуляции (ШИМ) с использованием датчиков состояния преобразовательных ячеек [5], которые вырабатывают 3 бита отказа (ячейки СП или фазной обмотки двигателя). Управление АД строится на основе управляющего микроконтроллера с программным заданием фазных токов с частотой ШИМ и поддержкой алгоритма восстановления в аварийном двухфазном режиме. Вариант реализации асинхронного электропривода с повышенной живучестью приведен на рис. 1.

Для проверки предложенного способа повышения живучести АД была разработана математическая модель частотно-регулируемого асинхронного электропривода, рис. 1. Математическая модель позволяет исследовать электропривод в несимметричных и аварийных режимах работы.

Математическая модель трехфазного АД рассматривается со следующими допущениями: магнитная цепь принимается ненасыщенной; энергия магнитного поля сосредоточена в воздушном зазоре; потери в стали и механические потери пренебрежимо малы; воздушный зазор равномерен; напряжения фаз синусоидальны; питающая сеть — бесконечно большой мощности. Допущения в преобразователе частоты: падение напряжения в преобразовательных ячейках нулевое, задержки переключения отсутствуют.

При моделировании АД в естественной трехфазной системе координат взаимные индуктивности между обмотками статора и ротора являются переменными, изменяющиеся по гармоническому закону при вращении ротора машины. Для упро-

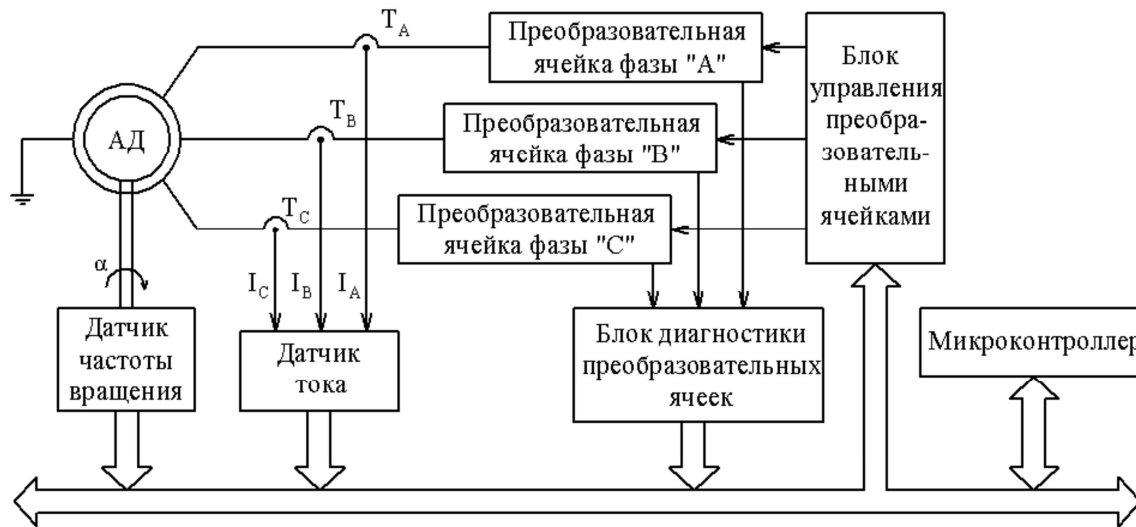


Рис. 1. Функциональная схема частотно-регулируемого асинхронного электропривода с повышенной живучестью

шения математической модели, необходимо перейти к заторможенной системе координат, чтобы избавиться от переменных индуктивностей. Модель трехфазной машины в заторможенной системе координат (α, β, γ) представлена на рис. 2.

Система дифференциальных уравнений, описывающая АД в трехфазной заторможенной системе координат [6]:

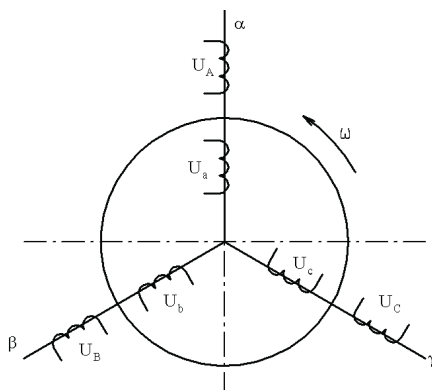


Рис. 2. Пространственная модель АД в трехфазной заторможенной системе координат

$$\begin{aligned} U_A &= R_s \cdot i_A + \frac{d\Psi_A}{dt}, \\ U_B &= R_s \cdot i_B + \frac{d\Psi_B}{dt}, \\ U_C &= R_s \cdot i_C + \frac{d\Psi_C}{dt}, \\ 0 &= R_r \cdot i_a + \frac{d\Psi_a}{dt} + (\Psi_b - \Psi_c)\omega / \sqrt{3}, \\ 0 &= R_r \cdot i_b + \frac{d\Psi_b}{dt} + (\Psi_c - \Psi_a)\omega / \sqrt{3}, \\ 0 &= R_r \cdot i_c + \frac{d\Psi_c}{dt} + (\Psi_a - \Psi_b)\omega / \sqrt{3}, \end{aligned} \quad (1)$$

где R_s, R_r – сопротивления фазы статора и ротора соответственно, U_A, U_B, U_C – фазные питающие на-

пряжения, i_A, i_B, i_C – токи в фазах статора, i_a, i_b, i_c – токи в фазах ротора, ω – частота вращения вала АД, Ψ_A – потокосцепление фазы, которое содержит взаимные индуктивности между обмоткой фазы “А” статора и всеми остальными обмотками:

$$\Psi_A = L_s i_A - \frac{1}{2} L_m i_B - \frac{1}{2} L_m i_C + L_m i_a - \frac{1}{2} L_m i_b - \frac{1}{2} L_m i_c,$$

где L_s – индуктивность фазы, L_m – взаимная индуктивность. Потокосцепления $\Psi_b, \Psi_c, \Psi_a, \Psi_b, \Psi_c$ записываются аналогично. Подставляя записанные потокосцепления в (1), получим систему из 6 уравнений и 6 неизвестных: $i_A, i_B, i_C, i_a, i_b, i_c$. Для решения полученной системы необходимо перейти к матричной форме записи уравнений. Матричное уравнение в нормальной форме Коши будет выглядеть (Ψ_a, Ψ_b, Ψ_c в правой части уравнения не подставлены для укорочения записи):

$$\begin{bmatrix} \frac{di_A}{dt} \\ \frac{di_B}{dt} \\ \frac{di_C}{dt} \\ \frac{di_a}{dt} \\ \frac{di_b}{dt} \\ \frac{di_c}{dt} \end{bmatrix} = \begin{bmatrix} L_s & -L_m/2 & -L_m/2 & L_m & -L_m/2 & -L_m/2 \\ -L_m/2 & L_s & -L_m/2 & -L_m/2 & L_m & -L_m/2 \\ -L_m/2 & -L_m/2 & L_s & -L_m/2 & -L_m/2 & L_m \\ L_m & -L_m/2 & -L_m/2 & L_r & -L_m/2 & -L_m/2 \\ -L_m/2 & L_m & -L_m/2 & -L_m/2 & L_r & -L_m/2 \\ -L_m/2 & -L_m/2 & L_m & -L_m/2 & -L_m/2 & L_r \end{bmatrix} \times \begin{bmatrix} U_A - R_s \cdot i_A \\ U_B - R_s \cdot i_B \\ U_C - R_s \cdot i_C \\ -R_r \cdot i_a - (\Psi_b - \Psi_c)\omega / \sqrt{3} \\ -R_r \cdot i_b - (\Psi_c - \Psi_a)\omega / \sqrt{3} \\ -R_r \cdot i_c - (\Psi_a - \Psi_b)\omega / \sqrt{3} \end{bmatrix}. \quad (2)$$

Решением системы (2) являются токи во всех фазах статора и ротора. Расчет электромагнитного момента для трехфазной системы координат содержит все возможные пары произведений токов двигателя [4]:

$$M = p \frac{\sqrt{3}}{2} L_m [(i_a i_c + i_b i_a + i_c i_b) - (i_a i_b + i_b i_c + i_c i_a)].$$

Частоту вращения вала АД найдем интегрированием уравнения движения электропривода, разрешенное относительно производной по скорости:

$$\frac{d\omega}{dt} = (M - M_c) \cdot \frac{p}{J_\Sigma},$$

где J_Σ – суммарный момент инерции вращающихся масс, приведенных к валу двигателя; p – число пар полюсов; M_c – момент сопротивления.

Система управления содержала контур тока в каждой фазе для поддержания равенства магнитодвижущих сил в аварийном двухфазном режиме. Контур скорости отсутствовал.

Уравнение обратной связи для фазы двигателя:

$$U = (I_3 - I_{oc}) \cdot k \frac{1 + Tp}{Tp},$$

где I_3 – ток задания определяется следующими уравнениями для каждой фазы:

$$I_A = I_m \cdot \sin(\omega t), I_B = I_m \cdot \sin(\omega t + 4\pi/3), I_C = I_m \cdot \sin(\omega t + 2\pi/3), \quad (3)$$

где I_m – амплитуда заданного тока, I_{oc} – ток обратной связи, $k \frac{1 + Tp}{Tp}$ – передаточная функция пропорционально-интегрального регулятора, k – коэффициент передачи регулятора, p – оператор Лапласа, T – постоянная времени регулятора, U – фазное напряжение, подаваемое на двигатель.

Переход в аварийный двухфазный режим при аварийной ситуации типа «обрыв фазы» осуществляется расчетом АД, представленного системой дифференциальных уравнений (1), не содержащей соответствующего уравнения (отказавшей фазы). Для случая обрыва фазы «А» в системе (1) будет отсутствовать первое уравнение Кирхгофа. Соответственно ток в этой фазе будет равным нулю.

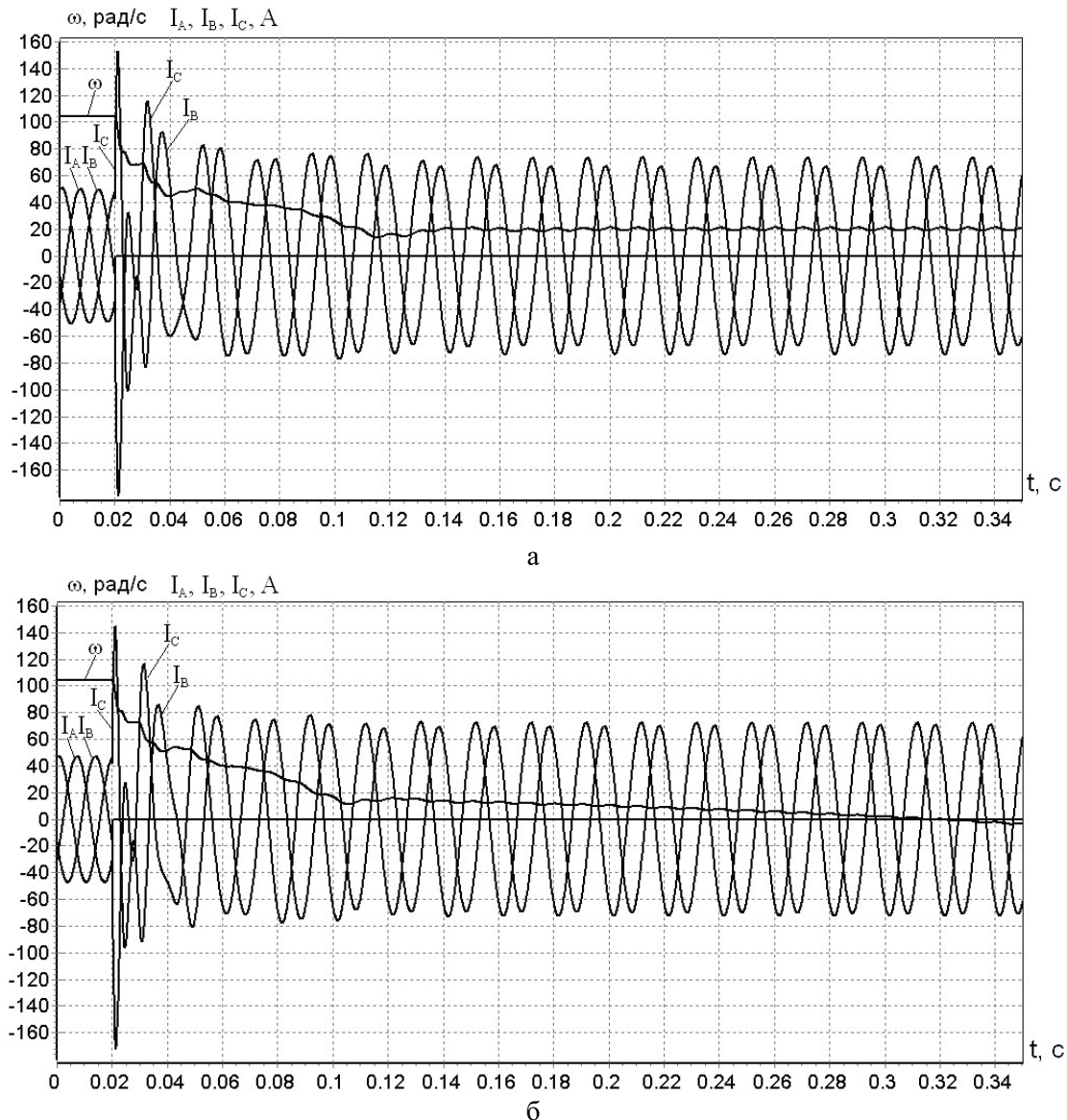


Рис. 3. Временные диаграммы переходного процесса аварийного режима АД при: а) нулевой и б) номинальной нагрузке

При работе алгоритма восстановления происходит изменение токов задания в электроприводе. В двухфазном аварийном режиме при обрыве фазы "А" с активизированным алгоритмом восстановления токи задания в двух оставшихся фазах в отличие от (3) имеют фазовый сдвиг $\pi/3$ и изменена очередность их формирования, опережающей становится фаза "С" (углы φ отрицательные):

$$I_B = I_m \cdot \sin(\omega t - \pi), \quad I_C = I_m \cdot \sin(\omega t - 2\pi/3).$$

Решение системы уравнений реализовано в программной среде Delphi 6. Система дифференциальных уравнений решена численным методом Рунге-Кутты 4-го порядка. Для моделирования был выбран двигатель МТФ 311-6.

На рис. 3–5 приведены результаты моделирования переходных процессов трехфазного АД при переключении в аварийный двухфазный режим.

На рис. 3, а, б, приведены графики переходного процесса частоты вращения и фазных токов АД при переключении из трехфазного в аварийный двухфазный режим работы. Рис. 3, а, — нулевая; рис. 3, б, — номинальная нагрузка на валу. В аварийном двухфазном режиме при нулевой нагрузке частота вращения составляет 19 % относительно трехфазного режима, а при номинальной нагрузке наблюдается падение частоты вращения до нуля с последующим опрокидыванием АД за время 0,3 с.

На рис. 4, а, б, приведены графики переходного процесса частоты вращения и фазных токов АД при переключении из трехфазного в аварийный двухфазный режим с активизированным алгоритмом восстановления. Рис. 4, а, — нулевая; рис. 4, б, — номинальная нагрузка на валу. В аварийном двухфазном режиме при нулевой нагрузке верхний предел частоты вращения составляет 50 % относи-

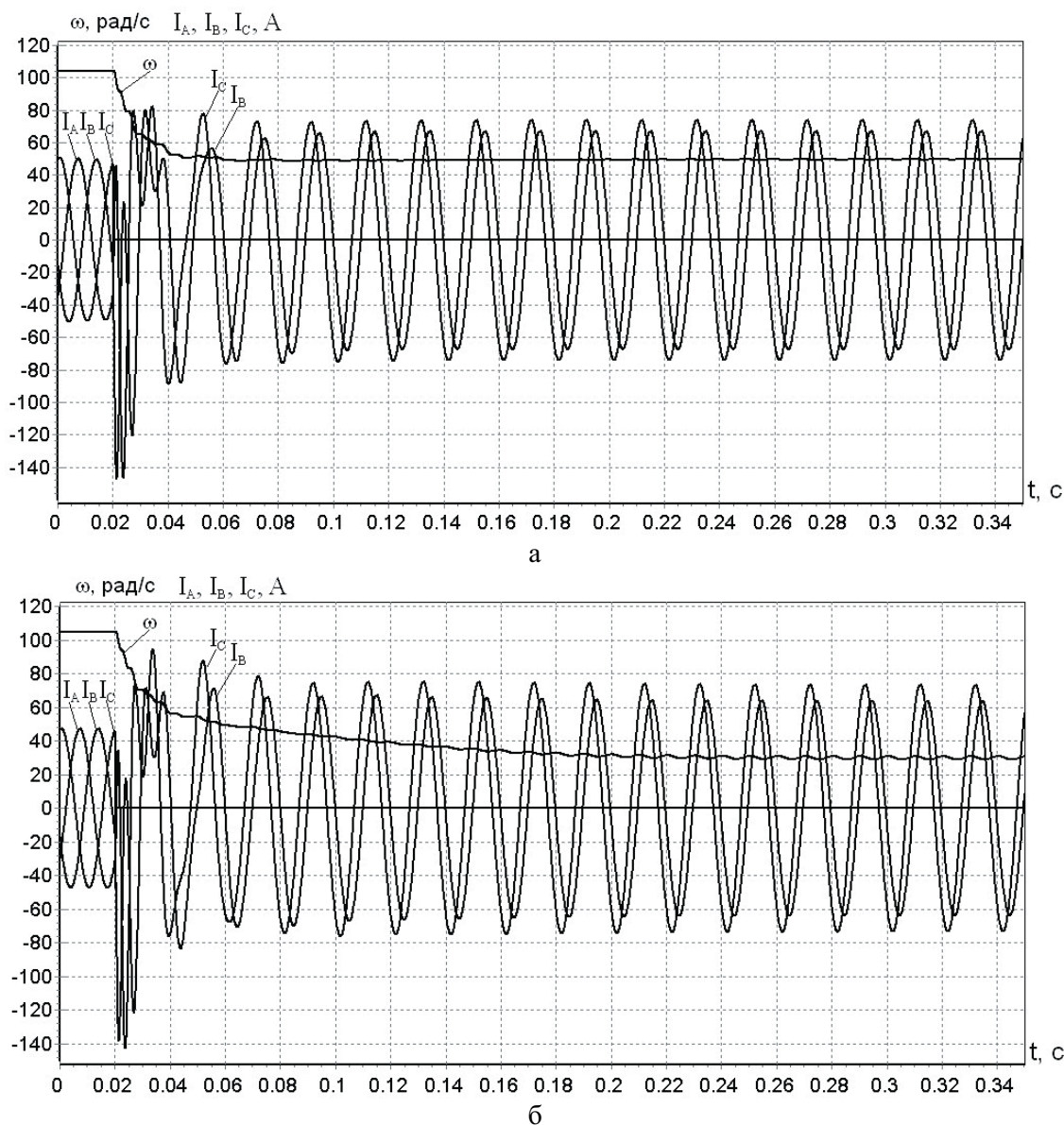


Рис. 4. Временные диаграммы переходного процесса АД с активизированным алгоритмом восстановления при: а) нулевой и б) номинальной нагрузке

тельно трехфазного режима, а при номинальной нагрузке наблюдается падение частоты вращения до уровня 29 %. Пульсации частоты вращения при нулевой нагрузке не превышают 0,5 %, а при номинальной нагрузке – 3,3 %.

На рис. 5, а, приведены развернутые графики переходного процесса частоты вращения и фазных токов АД при переключении из трехфазного в аварийный двухфазный режим с активизированным алгоритмом восстановления под номинальной нагрузкой (развернутый процесс переключения, рис. 4, а). Рассмотрен случай для времени диагностики $T_d=0$ (время с момента возникновения аварийной ситуации до момента активизации алгоритма восстановления).

В соответствии с алгоритмом восстановления за время переходного процесса фазовый сдвиг токов

статора изменяется с величины $2\pi/3$ до $\pi/3$. Длительность электромагнитного переходного процесса является временем переключения T_n , которое составило 15 мс или 4 электромагнитных постоянных времени АД.

Импульс неконтролируемого тока при переключении составил 302 % к уровню амплитуды тока до аварии и не превышает величины кратности пускового тока АД.

Затягивание времени переключения T_n будет проявляться в низкочастотной области диапазона частоты вращения в виде повышенных пульсаций и ограничения диапазона регулирования.

На рис. 5, б, приведены развернутые графики переходного процесса частоты вращения и фазных токов АД при переключении из трехфазного в аварийный двухфазный режим с активизированным

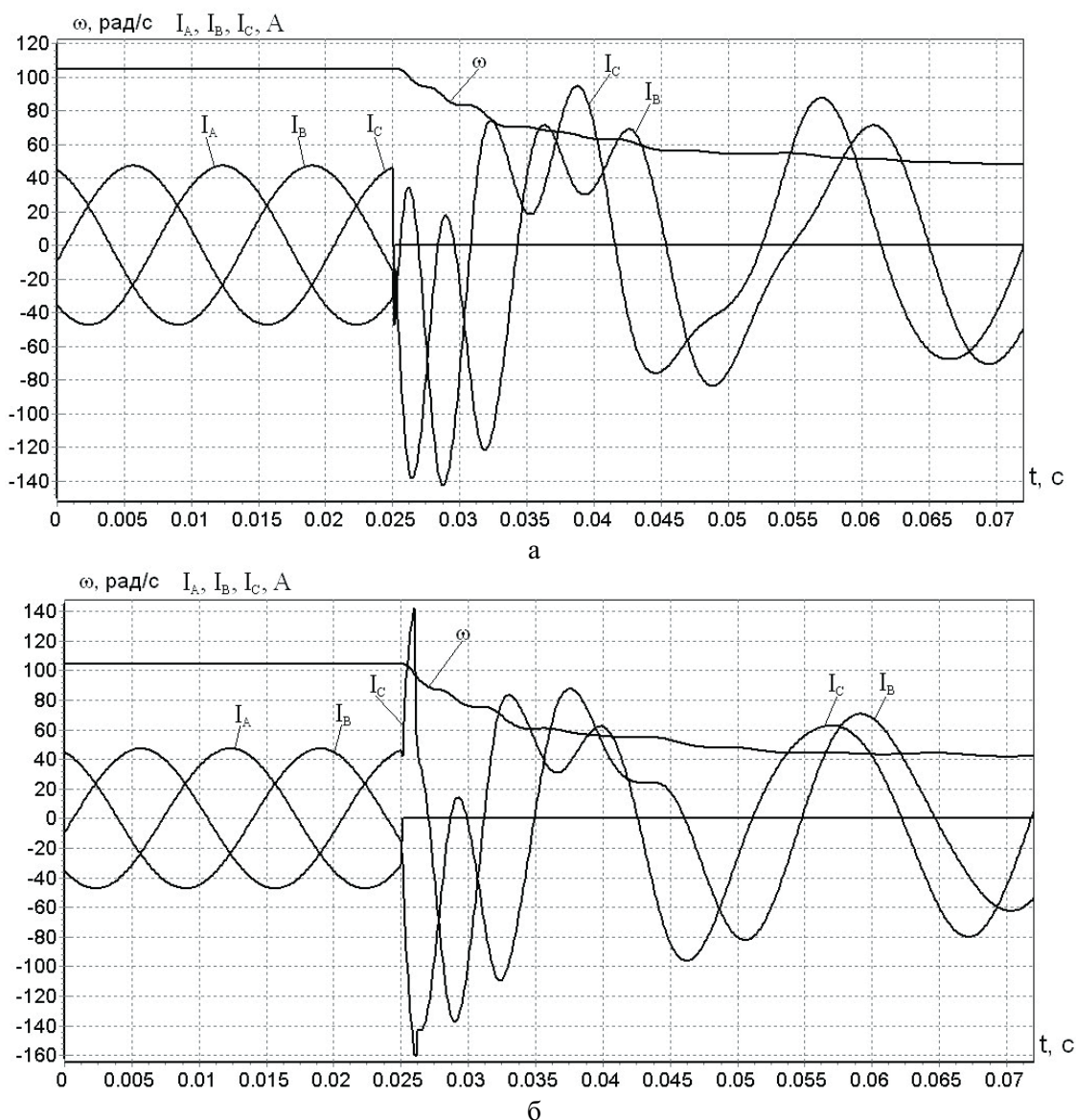


Рис. 5. Развернутые временные диаграммы переходного процесса АД с активизированным алгоритмом восстановления при номинальной нагрузке и длительности времени диагностики T_d : а) 0 и б) 100 мкс

алгоритмом восстановления под номинальной нагрузкой (развернутый процесс переключения, рис. 4, б) для случая $T_d = 100$ мкс (частота ШИМ 10 кГц). Рассмотрен худший случай, когда аварийная ситуация возникла в начале импульса ШИМ. В течение времени T_d наблюдается неконтролируемая аварийная ситуация, вызванная замедлением реакции системы управления, что привело к росту амплитуды импульса знакопеременного тока до 340 %. Очевидно, что увеличенная скорость нарастания тока в фазах уменьшает время переключения T_n , что возможно при отсутствии дополнительных индуктивностей в цепях обмоток электрической машины.

Следует отметить, что в момент перехода из трех- в двухфазный аварийный режим амплитуда задания тока в регуляторах I_m не изменялась.

СПИСОК ЛИТЕРАТУРЫ

1. Fu Jen-Ren, Lipo T.A. Disturbance-free operation of a multiphase current-regulated motor drive with an opened phase // IEEE Trans. Ind. Appl. — 1994. — V. 30. — № 5. — P. 1267–1274.
2. Kastha Debaprasad, Bose Bimal K. Fault mode single-phase operation of a variable frequency induction motor drive and improvement of pulsating torque characteristics // IEEE Trans. Ind. Electron. — 1994. — V. 41. — № 5. — С. 426–433.
3. Однокопылов Г.И. Микроконтроллерное управление вентильным двигателем в аварийном режиме: Автореф. дис. ... канд. техн. наук. — Томск, 2005. — 18 с.

Выводы

1. Трехфазный частотно-регулируемый АД в аварийном двухфазном режиме при активизации алгоритма восстановления позволяет обеспечить повышение живучести с номинальной нагрузкой на валу и ограничением верхнего предела частоты вращения на уровне 29 % от уровня в трехфазном режиме.
2. Время переключения структуры электропривода при активизации алгоритма восстановления составляет не более четырех электромагнитных постоянных АД.
3. Броски тока в обеих фазах в момент переключения структуры электропривода существенно зависят от времени диагностики аварийной ситуации, которое должно быть минимизировано.

4. Мехатроника / Пер. с япон. Т. Исии, И. Симояма, Х. Иноуэ и др. — М.: Мир, 1988. — 318 с.
5. Однокопылов Г.И. Датчик состояния преобразовательной ячейки // Микропроцессорные, аналоговые и цифровые системы: проектирование и схемотехника, теория и вопросы применения: Матер. IV Междунар. научно-практ. конф. — Новочеркасск: Изд-во ЮРГТУ, 2004. — С. 37–39.
6. Однокопылов И.Г. Математическая модель асинхронного двигателя с электромагнитным тормозным устройством // Наука. Технологии. Инновации: Матер. Всеросс. научной конф. молодых ученых в 6-ти частях. — Новосибирск: Изд-во НГТУ, 2004. — Ч. 1. — С. 52–54.